



طراحی کنترل کننده فازی بهینه یک پایدارساز سه پایه فعال با استفاده از نمونه‌سازی مجازی

مهدي سليماني^{۱*}، ولی الله نکونام^۲، علی اصغر قدیمی^۳

- ۱- استادیار، مهندسی مکانیک، دانشگاه اراک، اراک
 - ۲- دانشجوی کارشناسی ارشد مهندسی مکانیک، دانشگاه اراک، اراک
 - ۳- استادیار، مهندسی برق، دانشگاه اراک، اراک
- * اراک، صندوق پستی ۳۸۱۵۶۸۸۳۴۹
m-soleymani@araku.ac.ir

چکیده

در این تحقیق، با استفاده از نمونه‌سازی مجازی، کنترل فازی بهینه یک پایدارساز سه‌پایه فعال مستقر بر روی عرضه یک شناور جهت کنترل حرکات رول، پیچ و همو انجام شده است. برای این منظور، ابتدا با استفاده از تکنیک نمونه‌سازی مجازی، یک نمونه مجازی از شناور و پایدارساز توسعه داده شده و سپس با شبیه‌سازی همزمان نرم‌افزارهای متلب و ادامز عملکرد کنترل کننده فازی در مواجهه با اغتشاشات امواج دریا بر روی نمونه مجازی مورد ارزیابی قرار می‌گیرد. در ادامه برای افزایش کارایی کنترل کننده با به کارگیری روش بهینه‌سازی الگوریتم ژنتیک، کنترل کننده فازی بر روی نمونه مجازی بهینه می‌گردد. نتایج بدست آمده نشان می‌دهد که کنترل کننده فازی بهینه باعث کاهش ۵۵ درصدی بیشینه دامنه هیو و کاهش ۹۰ درصدی بیشینه دامنه رول و پیچ پایدارساز فعال نسبت به پایدارساز غیر فعال می‌گردد.

اطلاعات مقاله

مقاله پژوهشی کامل
دریافت: ۲۳ بهمن ۱۳۹۱
پذیرش: ۱۴ اردیبهشت ۱۳۹۲
ارائه در سایت: ۲۰ فروردین ۱۳۹۳
کلید واژگان:
پایدارساز سه‌پایه فعال
کنترل فازی
الگوریتم ژنتیک
نمونه‌سازی مجازی

Optimal fuzzy controller design for an active tripod stable platform using virtual prototyping

Mehdi Soleymani^{1*}, Valiollah Nekoonam², Ali Asghar Ghadimi³

1- Department of Mechanical Engineering, Arak University, Arak, Iran

2- Department of Mechanical Engineering, Arak University, Arak, Iran

3-Department of Electrical Engineering, Arak University, Arak, Iran

* P.O.B. 3815688349 Arak, m-soleymani@araku.ac.ir

ARTICLE INFORMATION

Original Research Paper

Received 11 February 2013

Accepted 04 May 2013

Available Online 09 April 2014

Keywords:

Active Tripod Stable Platform

Fuzzy Control

Genetic Algorithm

Virtual Prototyping

ABSTRACT

A buoyant in sea is prone to undesirable translational and rotational motions initiated from sea wave and wind excitations. These transmitted motions may affect proper performance of high precision equipment placed on the buoyant. Stable platform is one of the solutions employed for attenuating the transmitted motions via stabilizing a platform. Design of an optimal fuzzy controller for a tripod stable platform placed on the deck of a medium boat is considered in this paper. For this purpose, a fuzzy controller is proposed for the stable platform control. Furthermore, a 3 dimensional virtual prototype is developed for the boat and stable platform and the fuzzy controller is applied to the virtual prototype using co-simulation technique of MATLAB and ADAMS software. The fuzzy controller is then optimized using the genetic algorithm technique. The controllers are then implemented in the virtual prototype and their performance in the presence of sea wave excitations is simulated. Simulation results reveal that the tripod stable platform controlled with the optimal fuzzy controller, in comparison with passive one, can reduce pitch and roll motions up to 90 percent and reduce heave motion up to 55 percent.

از این اغتشاشات استفاده از پایدارسازها می‌باشد. پایدارسازها عموماً برای

پایدارسازی موقعیت رادیوتلسکوپ [۲] دوربین‌های دید در شب [۳] و آتن‌های رادار [۴] در برابر اغتشاشات باد و امواج دریا مورد استفاده قرار می‌گیرند.

پایدارسازها به طور کلی به سه دسته غیرفعال، نیمه فعال و فعال تقسیم‌بندی می‌شوند. پایدارسازهای فعال نیز عموماً شامل دو دسته کلی

پایدارسازهای ژیروسکوپیک و روبات‌های موادی می‌باشند. در پایدارسازهای ژیروسکوپیک با کنترل گشتاور مقاوم ژیروسکوپیک در جهت‌های مختلف به

پایدارسازی درجهات آزادی دورانی جسم تحت تأثیر گشتاورهای خارجی وارد

شناورها و ادوات مستقر بر روی عرضه در معرض ارتعاشات مزاحمی چون باد

و امواج دریا قرار دارند که از محیط پیرامون به آن‌ها وارد شده و عملکرد آن‌ها را تحت تأثیر قرار می‌دهد. برای مثال امواج دریا می‌تواند عملکرد یک آتن

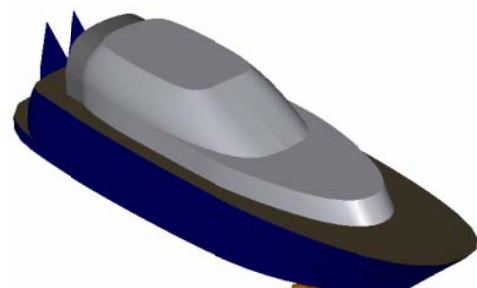
رادار را که بر روی عرضه کشته نصب شده است تحت تأثیر قرار دهد [۱] در این حالت تحت تأثیر اغتشاشات امواج دریا، حرکت‌های انتقالی سرج، سوی و

هیو و حرکت‌های دورانی رول، پیچ و یاوه به آتن رادار مستقر بر روی عرضه کشته منتقل می‌شوند. یک راه حل مناسب برای کاهش دامنه حرکات ناشی

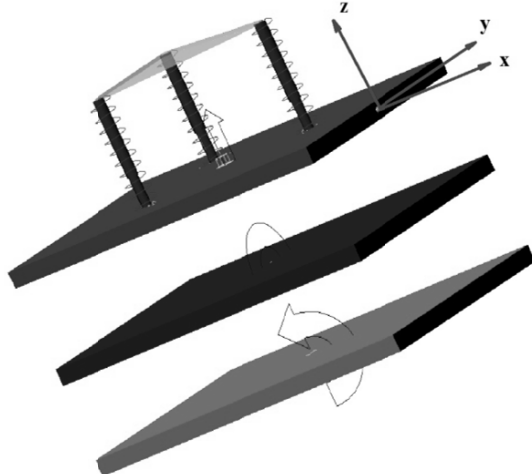
۱- مقدمه

برای ارجاع به این مقاله از عبارت ذیل استفاده نمایید:

M. Soleymani, V. Nekoonam, A.A. Ghadimi, Optimal fuzzy controller design for an active tripod stable platform using virtual prototyping, *Modares Mechanical Engineering*, Vol. 14, No. 1, pp. 168-174, 2014 (In Persian)



شکل ۱ پوسته شناور طراحی شده در نرم‌افزار مکسرف



شکل ۲ پایدارساز ساخته شده در محیط مجازی به همراه مکانیزم تولید جابه‌جایی اغتشاشی امواج دریا

۱-۲- مدل‌سازی شناور

مدل CAD شناور به دلیل پیچیده بودن در نرم افزار مکسرف طراحی شده و به نرم‌افزار آدامز انتقال داده می‌شود. شکل ۱ تصویر مدل شناور را در محیط این نرم‌افزار نشان می‌دهد.

مدل فوق به عنوان پوسته شناور عمل می‌کند. در محیط آدامز با نصب یک شبیه‌ساز حرکت قایق در موج دریا بر روی پوسته، شناور به نوسان واداشته می‌شود.

۲- مدل‌سازی امواج دریا

شکل ۲ تصویر پایدارساز مدل شده در نرم‌افزار آدامز به همراه شبیه‌سازی شبیه‌ساز حرکت شناور در موج دریا را نشان می‌دهد. این مکانیزم از سه صفحه مجازی با هم درست شده است.

در این مکانیزم یک عملگر خطی به صفحه بالایی نصب شده که به آن امکان حرکت در راستای z را می‌دهد. همچنین بر روی صفحات میانی و زیرین دو عملگر دورانی وصل شده که باعث می‌شود تا صفحه میانی حول محور x و صفحه زیرین حول محور y امکان نوسان داشته باشند. از طرفی این سه صفحه به هم مرتبیت می‌باشند به گونه‌ای که صفحه زیرین تنها حرکت پیچ را تولید می‌کند، صفحه میانی علاوه بر حرکت پیچ حرکت رول را نیز انجام می‌دهد و صفحه بالایی هر سه حرکت رول، پیچ و هیو را دارا خواهد بود.

در نهایت پایدارسازی که متصل به صفحه بالایی است می‌تواند حرکت هیو را در راستای محور z حرکت رول را حول محور x و حرکت پیچ را حول محور y داشته باشد. با اعمال داده‌های هیو، رول و پیچ به دست آمده از اندازه‌گیری‌های میدانی بر روی عرش شناور به این عملگرهای اغتشاش خارجی

بر جسم پرداخته می‌شود^[۵]. پایدارسازهای ژیروسکوپی اگر چه می‌توانند در کنترل حرکت‌های دورانی موثر واقع شوند، ولی قادر به خنثی کردن حرکت‌های انتقالی نیستند. نوع دیگر پایدارساز فعال در واقع نوعی روبات موازی است^[۴].

روبات موازی نوعاً شامل یک سکوی متحرک است که به وسیله چند اهرم‌بندی به یک پایه ثابت متصل می‌شود. به طور کلی تعداد اهرم‌بندی با تعداد درجات آزادی روبات موازی برابر است، به گونه‌ای که هر کدام از اهرم‌بندی‌های روبات موازی با یک عملگر مجرزا کنترل می‌شود^[۶]. در یک روبات موازی سه‌پایه با قرار دادن مفاصل گویی-کاسه‌ای میان سکو و اهرم‌بندی و قرار دادن مفاصل لولایی میان اهرم‌بندی و پایه روبات موازی، مکانیزم دارای سه درجه آزادی هیو، رول و پیچ می‌شود. در این تحقیق با طراحی کنترل کننده فازی برای یک روبات موازی سه درجه آزادی تلاش شده تأثیرگذار بر حرکت‌های دورانی رول و پیچ، حرکت انتقالی هیو نیز کنترل شود. پایدارساز سه‌پایه ذکر شده از سه کنترل کننده فازی مستقل بهره می‌برد که دامنه حرکات هیو، رول و پیچ را به عنوان ورودی به صورت پس‌خوراند دریافت کرده و نیروی کنترلی را برای اعمال به پایه مربوطه محاسبه می‌نماید. کنترل کننده فازی طراحی شده از قانون‌های ویژه‌ای برای کنترل پایدارساز سه پایه استفاده می‌کند. این کنترل کننده فازی به عملگرهای خطی نسبت شده در زیر پایه‌های پایدارساز فرمان می‌دهد تا نیروی خود را مناسب با موقعیت پایه‌های پایدارساز و مودهای دینامیکی پاسخ تصحیح کنند. تعداد کل قانون‌های در نظر گرفته شده برای هر کنترل کننده ۱۲۵ عدد است که با این تعداد، پایدارساز می‌تواند خود را در شرایط مختلف پایدار نگه دارد.

در این تحقیق از روش شبیه‌سازی مجازی برای توسعه پایدارساز استفاده شده است. شبیه‌سازی مجازی روشی سریع، کارآمد و ارزان است که علاوه بر کاهش زمان توسعه محصول از رسک پایینی نسبت به تولید واقعی برخوردار است. این روش هزینه‌های مراحل طراحی، ساخت و تست محصول را کاهش می‌دهد. یکی از بسته‌های نرم‌افزاری کاربردی در زمینه نمونه‌سازی مجازی، تحلیل و کنترل سیستم‌های دینامیکی نرم‌افزار آدامز^۱ است. این نرم‌افزار دارای مازول‌های مختلفی می‌باشد که در این تحقیق از مازول آدامز-ویو^۲ برای ساخت نمونه مجازی و توسعه پایدارساز استفاده شده است.

برای ساخت مدل CAD پایدارساز از همین مازول استفاده شده ولی برای طراحی پوسته قایق از نرم‌افزار مکسرف^۳ که مخصوص شبیه‌سازی شناورهای است، استفاده شده است. در ادامه با استفاده از تکنیک اجرای همزمان مطلب و آدامز و اعمال کنترل کننده فازی به نمونه مجازی، کنترل کننده در محیط مجازی تست می‌گردد. پس از اطمینان از صحبت عملکرد کنترل کننده فازی اولیه در محیط مجازی، این کنترل کننده با استفاده از الگوریتم بهینه‌سازی ژنتیک بهینه می‌گردد تا کنترل کننده فازی بهینه به دست آید.

۲- نمونه‌سازی مجازی

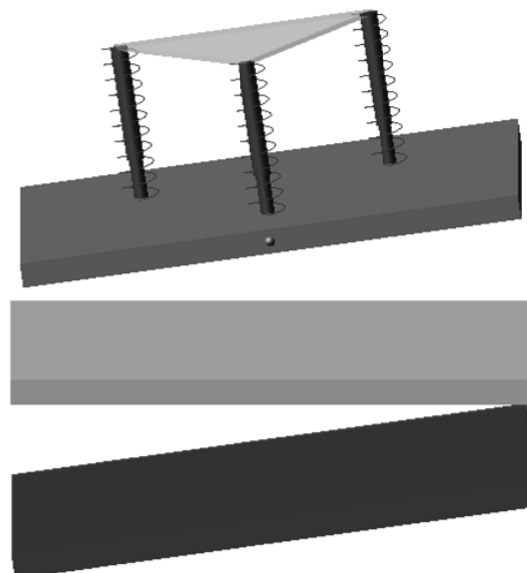
نمونه‌سازی مجازی روشی ارزان، کارآمد و سریع است که با بکار گیری آن می‌توان زمان و هزینه توسعه محصول را کاهش داد^[۶-۷]. در ادامه کار از این روش برای ساخت نمونه شناور و پایدارساز استفاده می‌شود. برای نمونه‌سازی مجازی سیستم از نرم افزار آدامز استفاده می‌شود و کار مدلسازی و شبیه‌سازی پایدارساز در محیط این نرم‌افزار انجام می‌گیرد.

1- Adams

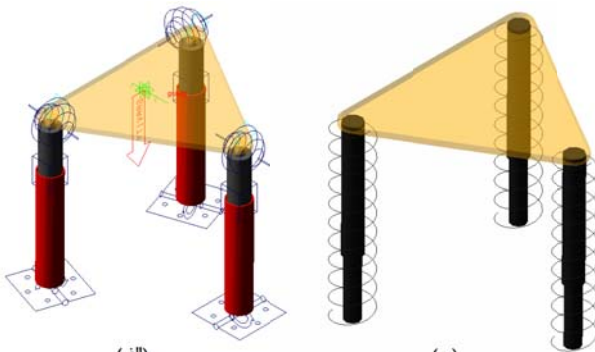
2- Adams/View

3- Maxsurf

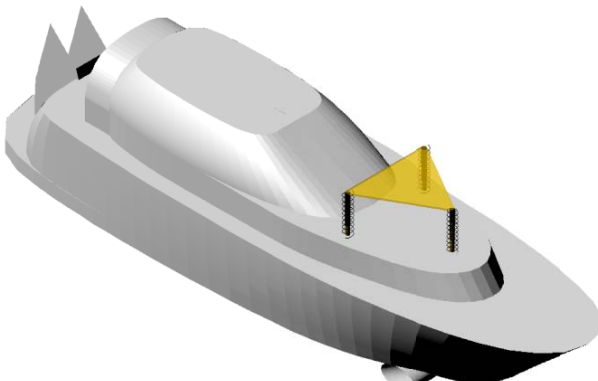
توسط کنترل کننده‌های دو (F₂) و سه (F₃) مثبت بزرگ خواهد بود. با توجه به این جدول، گزاره مقدم برای کنترل کننده‌های هر سه پایه مشترک است ولی گزاره تالی برای کنترل کننده پایه یک F₁، کنترل کننده پایه دو F₂ و کنترل کننده پایه سه F₃ می‌باشد. شکل‌های ۹، ۸ و ۱۰ سطح کنترل را برابر کنترل کننده‌ای که نیروی کنترلی F₁ را تولید می‌کند نمایش می‌دهند. شکل ۸ مقدار نیروی کنترلی F₁ را برای تغییرات هیو-رول شکل ۹ برای هیو-پیچ و شکل ۱۰ برای رول-پیچ نمایش می‌دهد.



شکل ۳ اعمال داده‌های بهدست آمده از تحلیل میدانی به پایدارساز توسط مکانیزم شبیه‌ساز حرکت قایق



شکل ۴ پایدارساز طراحی شده در محیط آدامز



شکل ۵ پایدارساز نصب شده بر روی قایق در محیط مجازی

سیستم به درستی شبیه‌سازی می‌شود. این داده‌ها در نرمافزار آدامز از طریق اسپلاین به عملگرها اعمال می‌شود. شکل ۳ وضعیت مکانیزم شبیه‌ساز حرکت قایق را نشان می‌دهد.

۲-۳-۲- مدل سازی پایدارساز

در شکل ۴ پایدارساز طراحی شده در نرمافزار آدامز نشان داده شده است. مطابق شکل هر یک از پایه‌های پایدارساز دارای یک جفت فنر-میراگر به همراه یک عملگر نیرویی است که به موازات هم نصب می‌شوند. پایه‌ها از یک طرف با استفاده از مفاصل گوبی-کاسه‌ای به میز و از سمت دیگر با استفاده از مفاصل لوایی به عرشه قایق متصل می‌شوند. پایدارساز نصب شده بر روی قایق به واسطه اتصالات گوبی-کاسه‌ای گوشه میز و اتصالات لوایی در پایه و نیز استفاده از عملگر خطی در پایه‌ها، امکان ایجاد و تصحیح حرکت‌های هیو، رول و پیچ را تحت اثر نیروی کنترلی اعمال شده به پایه‌ها دارد. تحریک پایدارساز به وسیله مکانیزم شبیه‌ساز حرکت قایق صورت می‌گیرد.

پایدارساز پس از طراحی، بر روی مکانیزم شبیه‌ساز حرکت قایق نصب می‌شود و در آخر شبیه‌ساز حرکت قایق با پوسته قایقی که در نرمافزار مکسرف طراحی شده است پوشش داده می‌شود. شکل ۵ پایدارساز را به صورت نصب شده بر عرشه قایق نشان می‌دهد.

۳- طراحی کنترل کننده

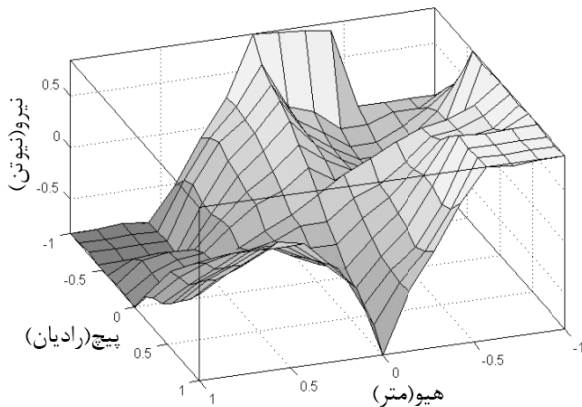
برای کنترل پایدارساز سه پایه از سه کنترل کننده فازی مستقل استفاده می‌شود. کنترل کننده فازی بهدلیل استفاده از قواعد زبانی، قابل فهم و ملموس‌تر بوده و امکان وارد کردن تجربه طراح را در کنترل کننده دارا می‌باشد. از طرف دیگر این کنترل از قابلیت تنظیم بسیار خوبی بهره برده و قابل کاربرد در سیستم‌های غیرخطی می‌باشد [۱۰]. کنترل کننده فازی دارای قوانینی است که باید با توجه به وضعیت سیستم از قبل نوشته شود. این قوانین برای پایدارساز سه پایه براساس وضعیت‌های مختلفی که با آن مواجه می‌شود، نوشته شده است. در ادامه تحقیق ابتدا کنترل کننده فازی برای پایدارساز طراحی می‌شود و با استفاده از الگوریتم بهینه‌سازی ژنتیک کارایی آن افزایش داده می‌شود.

۳-۱- طراحی کنترل کننده فازی

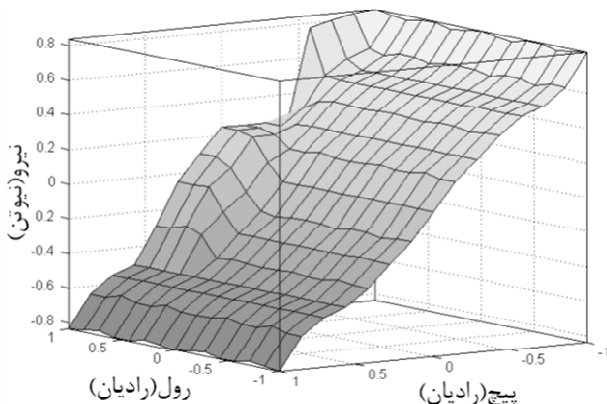
برای پایدارساز سه پایه، سه کنترل کننده فازی طراحی شده است که هر کدام از این کنترل کننده‌ها وضعیت یکی از گوشه‌های صفحه میز پایدارساز کننده را کنترل می‌کند. هر کدام از کنترل کننده‌های فازی بهطور جداگانه حرکت‌های هیو، رول و پیچ را به ترتیب به عنوان ورودی‌های اول تا سوم از سنسورهای پایدارساز فیدبک می‌گیرد و نیروی کنترلی F_i را به پایه i ام اعمال می‌کند. در ورودی و خروجی کنترل کننده از توابع تعلق مثالی برای فازی‌سازی و نافازی‌سازی مقادیر استفاده شده است. هر کدام از این F_i است، که به ترتیب نماینده بزرگ منفی، متوسط منفی، صفر، متوسط مثبت و بزرگ مثبت می‌باشد. شکل ۶ و شکل ۷ توابع تعلق را برای ورودی حرکت هیو و خروجی نیروی نیروی کنترلی نشان می‌دهد.

کنترل کننده فازی طراحی شده دارای ۱۲۵ قانون فازی است و به وسیله این قوانین براساس حالتی که سیستم در آن قرار دارد، تصمیم‌گیری می‌کند. برخی از این قوانین در جدول ۱ آورده شده است. به طور مثال طبق قانون ۱ این جدول اگر حرکت هیو (z)، رول (Φ) و پیچ (Ψ) هر سه منفی بزرگ باشد آنگاه نیروی محاسبه شده توسط کنترل کننده یک (F₁) صفر و نیروی محاسبه شده

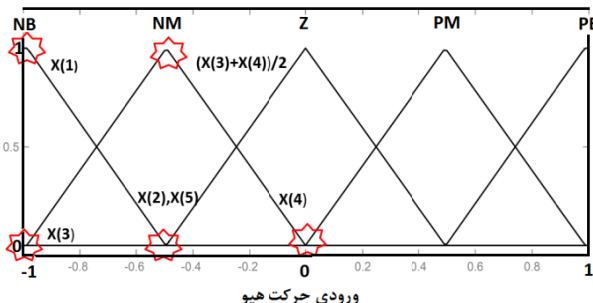
حتی به افرادی از جمعیت که مقدار برازنگی پایینی دارند توجه می‌شود تا جمعیت تشکیل شده در هر مرحله تنوع زیادی داشته باشد [۱۱]. توابع هدف در این بهینه‌سازی متناسب با آرام.اس^۱ هیو، آرام.اس رول و آرام.اس پیچ درنظر گرفته شده است. در شکل ۱۱ ۱۱ متغیرهای مورد نیاز برای تشکیل توابع تعلق حرکت هیو توان داده شده است. با درنظر گرفتن تقارن توابع تعلق عضویت، تعداد کل متغیرها برای هر کنترل کننده ۲۰ عدد می‌باشد.



شکل ۹ سطح کنترلی هیو-پیچ-نیروی کنترلی F_1



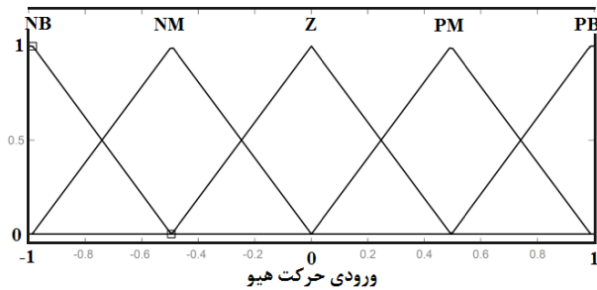
شکل ۱۰ سطح کنترلی پیچ-رول-نیروی کنترلی F_1



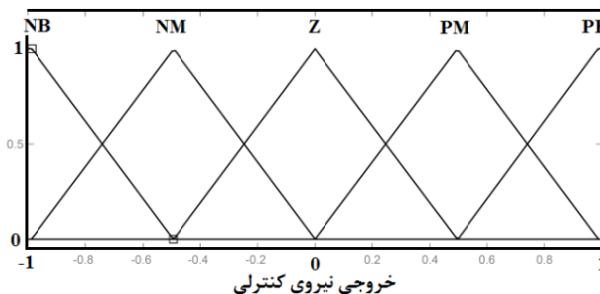
شکل ۱۱ متغیرهای بهینه‌سازی مربوط به توابع تعلق حرکت هیو

شکل ۱۲ نمودار پرتو توابع هدف آرام.اس هیو و پیچ را نشان می‌دهد. در شکل ۱۳ این نمودار برای توابع هدف آرام.اس هیو و رول و در شکل ۱۴ برای توابع هدف آرام.اس رول و پیچ نشان داده شده است. این نتایج پس از ۲۰ نسل تکرار بدست آمده و تعداد جمعیت بهینه‌سازی ۳۰۰ در نظر گرفته شده است. همچنان، شیوه انتخاب به روش مسابقه‌ای بوده، روش تولید مثل دو نقطه‌ای و تابع جهش آداتیو فیزیبل انتخاب شده است.

1- RMS: Root Mean Square



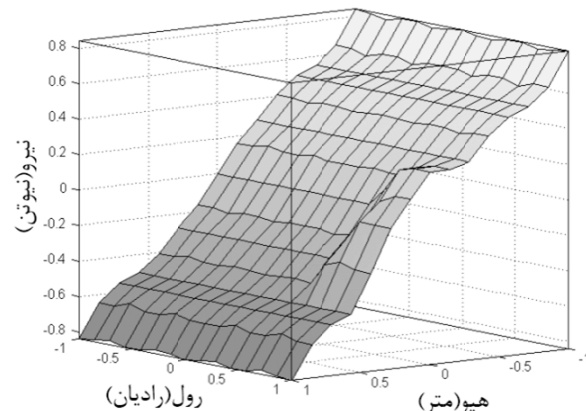
شکل ۶ توابع تعلق ورودی هیو



شکل ۷ توابع تعلق نیروی کنترلی

جدول ۱ برخی از قانون‌های کنترل کننده فازی پایدارساز سه پایه

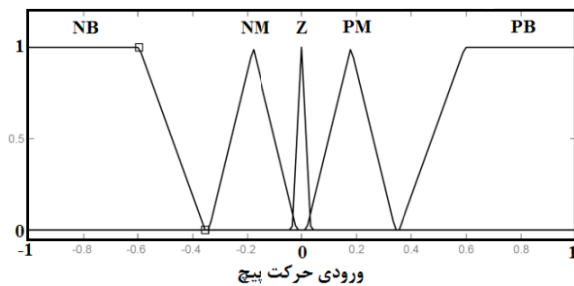
Z	Φ	θ	F1	F2	F3	
NB	NB	NB	Z	PB	PB	۱
NB	NB	NM	PM	PB	PM	۲
NB	NB	Z	PB	PB	Z	۳
NB	NB	PM	PB	PB	NM	۴
NB	NB	PB	PB	PB	NB	۵
NB	NM	NB	Z	PB	PB	۶
NB	NM	NM	PM	PB	PB	۷
NB	NM	Z	PB	PB	PM	۸
NB	NM	PM	PB	PB	Z	۹
NB	NM	PB	PB	PM	NM	۱۰



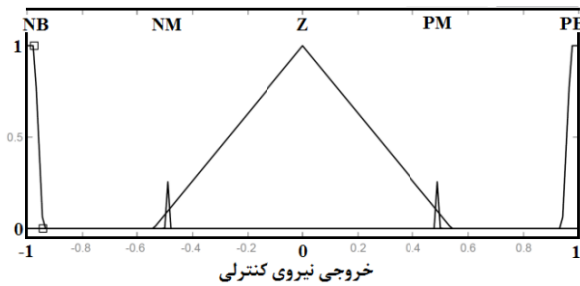
شکل ۸ سطح کنترلی هیو-رول-نیروی کنترلی F_1

۲-۳- بهینه سازی کنترل کننده با الگوریتم ژنتیک

برای افزایش کارایی کنترل کننده فازی طراحی شده می‌توان از الگوریتم‌های بهینه‌سازی موجود استفاده کرد. در این تحقیق از روش بهینه‌سازی الگوریتم ژنتیک برای بهینه کردن توابع عضویت کنترل کننده استفاده شده است. بهینه‌سازی انجام شده به این روش چند هدفه است. الگوریتم بهینه‌سازی ژنتیک مورد استفاده در این مقاله از نوع NSGA-II می‌باشد. در این نوع الگوریتم ژنتیک



شکل ۱۷ توابع تعلق پیج کنترل کننده پایدارساز سه پایه بهینه شده با الگوریتم رنگیک



شکل ۱۸ توابع تعلق نیروی کنترل کننده پایدارساز سه پایه بهینه شده با الگوریتم رنگیک

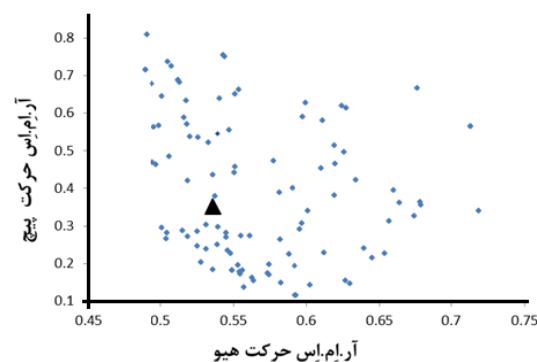
نقطه بهینه انتخاب شده در نمودارهای ۱۳ و ۱۴ با علامت مثلث مشخص شده است. سه نقطه نشان داده شده با مثلث معرف یک جواب هستند. دلیل انتخاب چنین نقطه‌ای برای جواب، رسیدن به جوابی است که بهازای آن دامنه هر سه حرکت هیو، پیج و رول توانما کمینه شوند. در شکل ۱۵ تا شکل ۱۸ توابع تعلق بهینه شده با الگوریتم رنگیک نمایش داده شده است.

۳-۳- پایدارسازی کنترل کننده بر روی نمونه مجازی

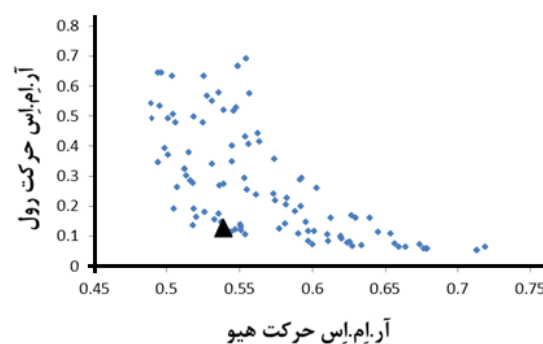
نرمافزار آدامز این قابلیت را دارد که به صورت همزمان با نرمافزار متلب اجرا شود. ارتباط میان متلب و آدامز به وسیله مژول آدامز-کنترل^۱ صورت می‌گیرد. انتقال اطلاعات میان نرمافزارهای متلب و آدامز به وسیله این مژول صورت می‌گیرد. نرمافزار آدامز بلوکی حاوی معادلات غیر خطی سیستم تولید می‌کند. با انتقال این بلوک به محیط سیمولینک متلب، می‌توان کار کنترل پایدارساز را به وسیله کنترل کننده‌های فازی طراحی شده انجام داد. شکل ۱۹ مدل پایدارساز و شناور در محیط سیمولینک متلب را نشان می‌دهد. طبق این شکل مقادیر هیو، پیج و رول با استفاده از ضرایب بهرهای که در ورودی کنترل کننده قرار داده شده (بهره ۱ و بهره ۲ و بهره ۳) به مقادیری بین منفی یک و یک نرمالایز شده‌اند. همچنین نیروی کنترلی در خروجی کنترل کننده بین همین دو مقدار قرار دارد که با قرار دادن ضرایب بهره در خروجی کنترل کننده (بهره ۴ و بهره ۵ و بهره ۶) به مقدار مناسب تبدیل می‌شود.

زیرسیستم آدامز در این شکل در بردازندۀ معادلات غیر خطی سیستم پایدارساز می‌باشد که از نرمافزار آدامز به محیط سیمولینک انتقال داده شده است. این زیرسیستم در شکل ۲۰ نشان داده شده است.

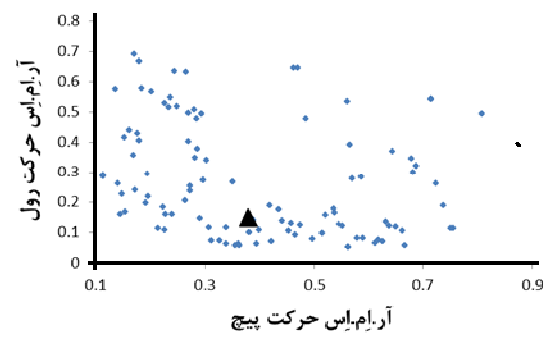
نحوه کار این مدل به این صورت است که نرمافزار آدامز با استفاده از سنسورهای نصب شده بر روی پایدارساز، حرکت‌های هیو، رول و پیج را به عنوان خروجی ارسال می‌کند. این خروجی به ضرایب بهرهای که قبل از کنترل کننده‌های فازی قرار دارد فرستاده می‌شود تا مقادیر آن را به مقداری بین منفی یک و یک تبدیل کند و آن را به فازی ساز سیستم بفرستد. سپس فازی ساز براساس قوانینی که برخی از آن‌ها در جدول ۱ دیده می‌شود نیروی‌های کنترلی مناسب را به



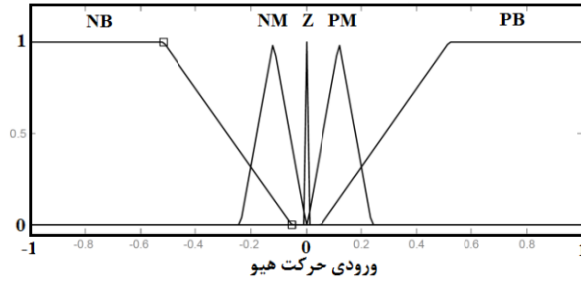
شکل ۱۲ نمودار پیتو مربوط به توابع هدف آرام. اس هیو و پیج



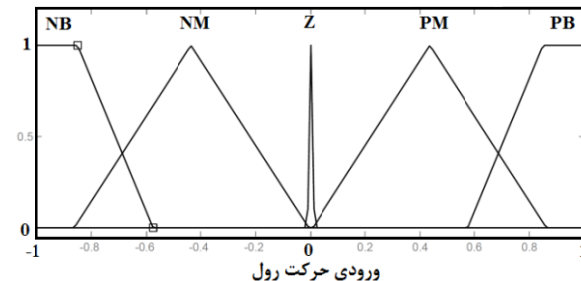
شکل ۱۳ نمودار پیتو مربوط به توابع هدف آرام. اس هیو و رول



شکل ۱۴ نمودار پیتو مربوط به توابع هدف آرام. اس رول و پیج



شکل ۱۵ توابع تعلق هیو کنترل کننده پایدارساز سه پایه بهینه شده با الگوریتم رنگیک

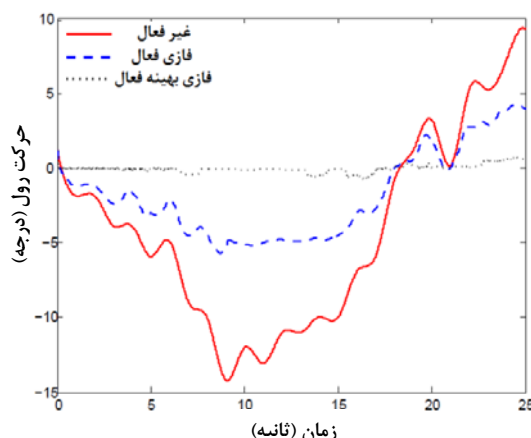


شکل ۱۶ توابع تعلق رول کنترل کننده پایدارساز سه پایه بهینه شده با الگوریتم رنگیک

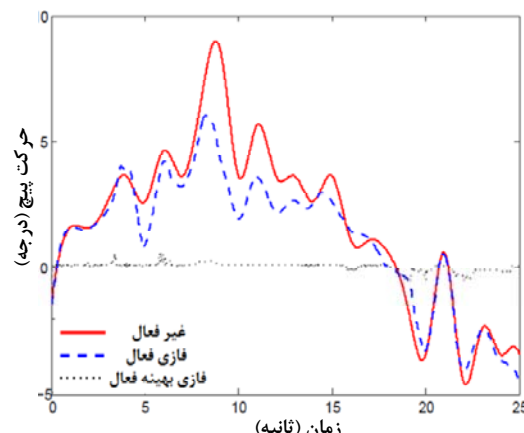
با توجه به این شکل مشخص است که کنترل کننده فازی بهینه شده با الگوریتم ژنتیک عملکرد بهتری نسبت به سایر کنترل کننده‌ها داشته است. در این شکل کنترل کننده فازی اولیه (FLC) بیشینه دامنه حرکت هیو را در حالت غیر فعال $30/97$ درصد کاهش داده است. این مقدار برای کنترل کننده فازی بهینه شده با الگوریتم ژنتیک (FLC-GA) $55/55$ درصد و برای کنترل کننده تنظیم کننده خطی (LQR) $65/66$ درصد است. پاسخ‌های رول و پیچ نیز بهتر ترتیب در شکل ۲۳ و شکل ۲۴ دیده می‌شود.

در شکل ۲۳ که حرکت رول را نشان می‌دهد درصد کاهش بیشینه دامنه نسبت حالت غیرفعال برای کنترل کننده فازی اولیه $60/04$ ، کنترل کننده فازی بهینه شده با الگوریتم ژنتیک $93/73$ درصد و کنترل کننده تنظیم کننده خطی $84/41$ درصد می‌باشد. همچنین در حرکت پیچ، درصد کاهش بیشینه دامنه نسبت حالت غیرفعال برای کنترل کننده فازی اولیه $33/19$ ، کنترل کننده فازی بهینه شده با الگوریتم ژنتیک $92/64$ درصد و کنترل کننده تنظیم کننده خطی $86/17$ درصد می‌باشد. در شکل ۲۵ آرام. اس حرکت‌های تنظیم کننده خطی از $25/2$ درصد می‌باشد. در شکل ۲۵ آرام. اس حرکت‌های رول برای کنترل کننده‌های مختلف مقایسه شده است. مطابق این نتایج رول برای کنترل کننده فازی بهینه شده با الگوریتم ژنتیک در کاهش آرام. اس حرکت‌های هیو و پیچ بهتر از دیگر کنترل کننده‌ها بوده است.

با توجه به نتایج بهدست آمده از پاسخ‌های پایدارساز نسبت به ورودی اغتشاشی دیده می‌شود که پایدارساز طراحی شده توانسته است با استفاده از کنترل کننده فازی دامنه حرکت‌های هیو، رول و پیچ را به خوبی کاهش دهد. همچنین با به کارگیری الگوریتم ژنتیک کارایی کنترل کننده در کاهش دامنه ارتعاشات افزایش پیدا کرده است.



شکل ۲۳ پاسخ رول کنترل کننده‌های مختلف اعمال شده به پایدارساز

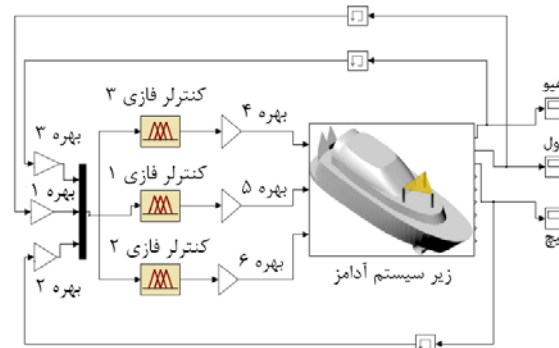


شکل ۲۴ پاسخ پیچ کنترل کننده‌های مختلف اعمال شده به پایدارساز

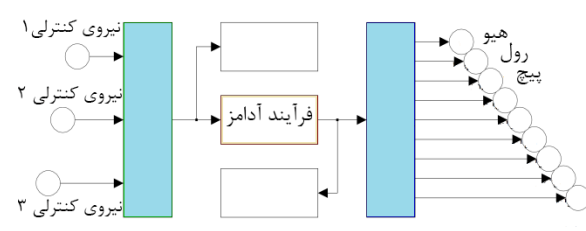
ورودی مدل آدامز می‌فرستد. این مقادیر به عملگرهای نصب شده در پایه‌های پایدارساز اعمال می‌شود تا سیستم را در حالت مطلوب نگه دارد. شکل ۲۱ نحوه ارتباط کنترل کننده با پایدارساز را نشان می‌دهد.

۴- شبیه سازی و تحلیل نتایج

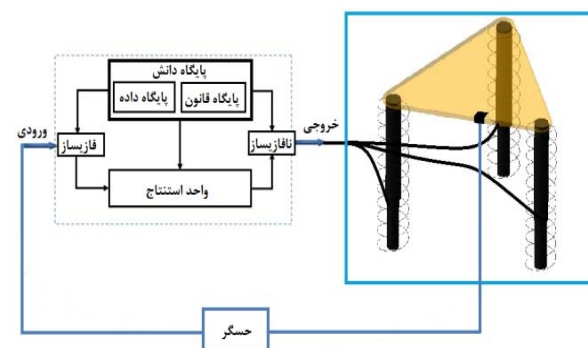
پاسخ حرکت هیو سیستم به ورودی اغتشاشی در شکل ۲۲ نشان داده شده است.



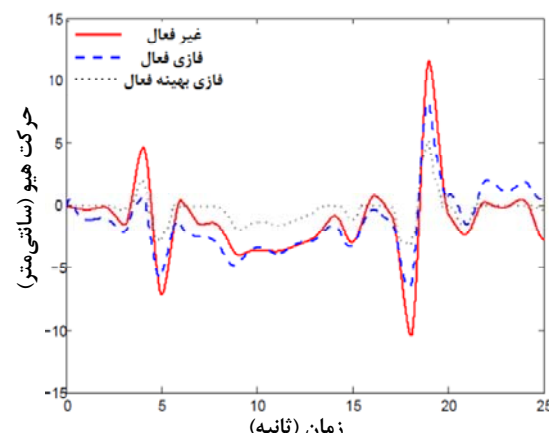
شکل ۱۹ بلوك کنترل پایدارساز



شکل ۲۰ بلوك‌های ارتباط‌دهنده آدامز و متلب

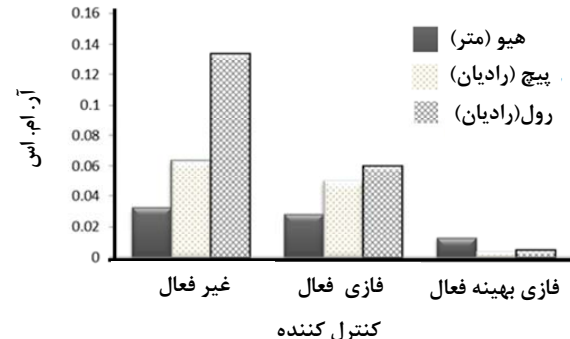


شکل ۲۱ نحوه ارتباط مکانیزم پایدارساز با کنترل کننده فازی



شکل ۲۲ پاسخ هیو کنترل کننده‌های مختلف اعمال شده به پایدارساز

- [3] FLIR Systems, M-Series: Premium Multi-Sensor Maritime Thermal Night Vision System, Accessed 13 October 2012; <http://www.flir.com/IR>.
- [4] D. K. Nikulin, Active stabilization of an antenna system, *Journal of Machinery Manufacture and Reliability*, Vol. 36, pp. 110-113, 2007.
- [5] C. Ross, *Stabilization System for a Freely Rotatable Platform*, U. S. Patent 5,256,942 issued Oct 26, 1993.
- [6] A. Arockia Selvakumar, R. Sivaramakrishnan, Simulation and workspace analysis of a tripod parallel manipulator, *World Academy of Science Engineering and Technology*, Vol. 33, pp. 583-588, 2009.
- [7] M. Hajisoleimani, *Fuzzy Control of Active and Semi-active Suspension Systems Using ADAMS Software and Fuzzy Logic*, MS Thesis, University of Science and Technology, Tehran, 2006. (In Persian)
- [8] J. Zhang, Ch. Lian, R. Gao, L. Shi, 3-Degree-of-freedom parallel robot control based fuzzy theory, *The 2nd International Conference on Intelligent Human-Machine Systems and Cybernetics (IHMSC)*, Nanjing, China, 2010.
- [9] D. Zhang, Q. Shi, Novel design and analysis of a reconfigurable parallel manipulator using variable geometry approach, *Practical Applications of Intelligent Systems*, Vol. 124, pp. 447-457, 2012.
- [10] J. Jantzen, *Foundations of Fuzzy Control*, Chippenham, Wiltshire:John Wiley & Sons, pp. 2-3, 2007.
- [11] D. Kalyanmoy, *Multi-Objective Optimization Using Evolutionary Algorithms*, Chichester:John Wiley & Sons, 2001.



شکل ۲۵ نمودار میله ای مقایسه آرامی حركت های هیو و رول و پیچ برای کنترل کننده های مختلف اعمال شده به پایدارساز سه‌پایه

۵- مراجع

- [1] C. Morgan, R. M. Peters, The Tilted Axes Stable Platform Mechanism: Kinematic And Kinetic Aspects, *Proc Instn Mech Engrs*, Vol. 191, pp. 277-289, 1977.
- [2] L. Lei, W. Benli, Multi objective robust active vibration control for flexure jointed struts of stewart platforms via h^∞ and μ synthesis, *Chinese Journal of Aeronautics*, Vol. 21, pp. 125-133, 2008.